

L'effet Magnus (Bernoulli - Robins - Magnus)

Jacobi - Legendre. (sur Fourier): "l'honneur de l'esprit humain"
Subtilité publique / explication des phénomènes naturels

Robinson - Keller. The transverse force of...

$$\vec{F} = m \vec{\Gamma}_G = \underbrace{m \vec{g}}_{\text{poids}} + \underbrace{\pi g R^2 \vec{\Omega} \wedge \vec{v}_a}_{\substack{\text{Magnus} \\ \text{force} \\ \text{potance.}}} - \underbrace{6\pi R \mu \vec{v}_a}_{\substack{\text{Stokes} \\ \text{(drag force)} \\ \text{traînée}}} - \underbrace{\frac{9}{4} \pi g R^2 \|\vec{v}_a\| \vec{v}_a}_{\substack{\text{Oseen} \\ \text{(drag force)} \\ \text{terme quadratique}}}$$

$$\left(\frac{d\vec{\Omega}}{dt} = -8\pi \mu R^3 \vec{\Omega} \right) \quad \mu \text{ grand } (\mu = \text{viscosité}).$$

Mais si $\mu \ll 1$, $\vec{\Omega} = \vec{\Omega}_0 = \omega \vec{k}$

Fuchs: → Robinson-Keller adapté au base-ball
Smith

pitch / wobble / winding / cut = ballons courbés avec des effets divers.

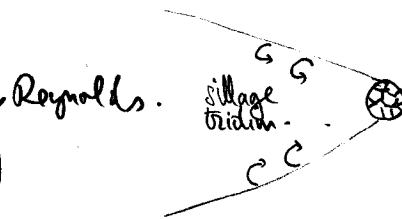
knuckleball

$$\vec{F} = -6\pi R \mu \vec{v}_a \left(1 + \frac{3}{8} \frac{v_a}{v_c} \right)$$

drag force

$$Re = \frac{v_a D}{\nu} \quad \nu = \frac{\mu}{\rho}$$

↑ variable!



laminaire



- On va faire 4 hypothèses:
- enlever Oseen: linéarisation
 - On suppose que la formule vaut pour tout $\mu \geq 0$
 - ballon inélastique (pas d'aérodéformabilité)

[peut-on se ramener à un principe variationnel? " $\delta = 0$ "]

- sillage et modélisé par Stokes uniquement
- $\mu = 0$

On trouve donc :

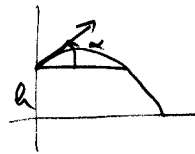
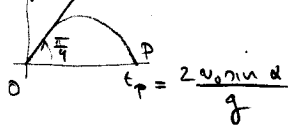
$$\begin{cases} \vec{\Omega} = \vec{\Omega}_0 = \omega_0 \vec{k} \\ m \vec{\Gamma}_a = m \vec{g} + \pi \rho R^2 \vec{\Omega}_0 \wedge \vec{v}_a \\ = -mg \vec{k} + \pi \rho R^2 (\rho_0 \vec{i} + q_0 \vec{j} + v \vec{k}) \wedge (u \vec{i} + v \vec{j} + w \vec{k}) \end{cases}$$

On aurait voulu

$$w \begin{pmatrix} u \\ v \\ w \end{pmatrix} = -mg \begin{pmatrix} 0 \\ 0 \\ 1 \end{pmatrix} + \begin{pmatrix} 0 & 0 & -\rho_0 \\ \rho_0 & 0 & q_0 \\ -\rho_0 & 0 & 0 \end{pmatrix} \wedge \begin{pmatrix} u \\ v \\ w \end{pmatrix}$$

6° hypothèse : $\vec{\Omega}_0 = \omega_0 \vec{k}$.

Lancer de poids



$$\sin^2 \alpha = \frac{v_0^2 + hg}{hg}$$

→ on résout $\begin{cases} \dot{x} = v_0 \cos \alpha t \\ g = 0 \text{ "mvt plan"} \end{cases}$

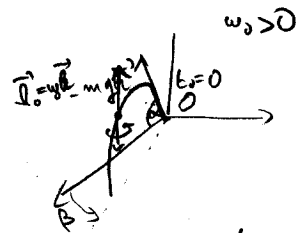
Reste : 1) $\vec{\Gamma}_0 = \omega_0 \vec{k}$ vertical (n'existe pas au vent) $z = -\frac{1}{2} g t^2 + v_0 \sin \alpha t + h$.

Quel est le torseur de force de l'air sur S : $\varphi(A \rightarrow S) = \begin{cases} -6\pi \mu R \vec{v}_a + \pi \rho R^2 \vec{\Omega} \wedge \vec{v}_a \\ -8\pi \mu R^3 \vec{\Omega} \end{cases}$

$$\begin{cases} \ddot{x} = -\frac{\pi \rho R^3 \omega_0 v}{m} \\ \ddot{y} = \frac{\pi \rho R^3 \omega_0 u}{m} \\ \ddot{z} = -g \end{cases} \quad \begin{cases} u = \dot{x} \\ v = \dot{y} \\ w = \dot{z} \end{cases} \quad \begin{cases} \dot{u} = -\frac{\pi \rho R^3 \omega_0 v}{m} \\ \dot{v} = \frac{\pi \rho R^3 \omega_0 u}{m} \\ \dot{w} = -g \end{cases}$$

On pose $\xi = u + iv, \xi^2 = -1$.

On trouve $a \quad \begin{cases} u = \frac{v_0 \cos \alpha}{\dots} \\ y = \dots \\ z = \dots \end{cases}$



Application numérique :

La force de Magnus est gyroscopique : elle met à travail pas !

$$\begin{aligned} v_0 &= 72 \text{ km/h} = 20 \text{ m/s} \\ \omega_0 &= 20 \text{ rad/s} \end{aligned}$$

A Mexico City, $\rho = 1.2 \text{ kg/m}^3$

Solution : (a) $\begin{cases} x(t) = \frac{v_0 \cos \alpha}{\frac{\pi \rho R^3 \omega_0}{m}} \frac{1 - \cos \pi \rho R^3 \omega_0 t}{\sin \pi \rho R^3 \omega_0 t} \quad \rho = 1.29 \text{ kg/m}^3 \\ y(t) = \frac{v_0 \cos \alpha}{\frac{\pi \rho R^3 \omega_0}{m}} (1 - \cos \pi \rho R^3 \omega_0 t) \\ z = -\frac{1}{2} g t^2 + v_0 \sin \alpha t \end{cases}$

Cela donne un cercle de rayon $a = \frac{v_0 \cos \alpha}{\frac{\pi \rho R^3 \omega_0}{m}} = \frac{v_0 \cos \alpha}{\omega_0} \quad \text{C}(I, \rho) \quad \text{Oy} \quad \text{(Orig.)}$

$$\tan \beta = \frac{y_P}{x_P} = \pi \dots \quad \text{ou} \quad \epsilon_P = \frac{2v_0 \sin \alpha}{g}$$

La formule de Lillo's brothers : $\beta = \frac{\pi \rho R^3 \omega_0 v_0 \sin \alpha}{mg}$

Application numérique: $R = 0,11 \text{ m}$

$$\omega_0 = 70 \text{ rad/s}$$

$$v_0 = 70 \text{ m/s}$$

$$g = 9,81 \text{ m/s}^2$$

$$\rho = 1 \text{ kg/m}^3 \text{ à Mexico City.}$$

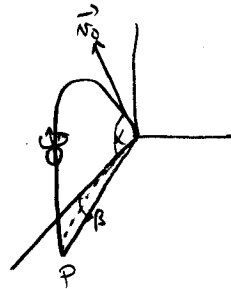
Ainsi $\beta \in [12^\circ, 73^\circ]$.

Nous avons établi $m \vec{\Gamma}_G = -mg \vec{k} + \rho R^3 \vec{\Sigma}_0 \wedge \vec{V}_G$

et résolvé :

$$G \begin{cases} x(t) = \frac{v_0 \cos \alpha}{\lambda} \sin(\lambda t) \\ y(t) = \frac{v_0 \cos \alpha}{\lambda} (1 - \cos \lambda t) \\ z(t) = -\frac{1}{2} g t^2 + v_0 \sin \alpha t \end{cases}$$

$$\lambda = \frac{\pi \rho R^3 \omega_0}{m}$$



Alors $\tan \beta = \frac{y_P}{x_P}$ avec $\beta = \lambda \frac{v_0 \sin \alpha}{g}$

et $\beta = F\left(\frac{\rho}{g}\right) \cdot g v_0$; si Σ est l'altitude, $\rho(\Sigma) \approx 1,225 (1 - 22,6 \cdot 10^{-6} \Sigma)^{4,255}$
 kg m^{-3}

Problème: ici on a supposé $\vec{\Sigma}_0$ vertical,

En fait ce n'est jamais le cas! $\vec{\Sigma}_0 = \rho_0 \vec{e}_1 + \rho_0 \vec{e}_2 + v_0 \vec{e}_3$

$$\begin{pmatrix} \dot{x} \\ \dot{y} \\ \dot{z} \end{pmatrix} = \begin{pmatrix} 0 \\ 0 \\ -g \end{pmatrix} + \frac{\pi \rho R^2}{m} \begin{pmatrix} \rho_0 \\ \rho_0 \\ v_0 \end{pmatrix} \wedge \begin{pmatrix} x \\ y \\ z \end{pmatrix} \quad v = \begin{pmatrix} \dot{x} \\ \dot{y} \\ \dot{z} \end{pmatrix} \in \mathcal{M}_{3 \times 1}(\mathbb{R})$$

$$\dot{v} = \mathcal{G} + \kappa \mathcal{A} v, \quad \mathcal{A}_0 = \begin{pmatrix} 0 & -v_0 & \rho_0 \\ v_0 & 0 & -\rho_0 \\ -\rho_0 & \rho_0 & 0 \end{pmatrix}. \text{ Notons } \mathcal{B}_0 = \kappa \mathcal{A}_0 v$$

On va chercher une solution particulière et les solutions de l'équation homogène.

Or \mathcal{A} a comme valeurs propres 0, $\pm i \|\rho_0\|$, etc.

donc on peut approcher le problème numérique en t^0 de $\rho_0, \rho_0, v_0, \alpha$.

Si $y = u^2$, arc de parabole $L = \int_a^b \sqrt{1+y'^2} du = \int_a^b \sqrt{1+4u^2} = \frac{1}{2} \int_{2a}^{2b} \sqrt{1+u^2} du$
 $= \frac{1}{2} (b\sqrt{1+4b^2} - a\sqrt{1+4a^2}) + \frac{1}{4} \ln \frac{2b\sqrt{1+4b^2} + 2a\sqrt{1+4a^2}}{2a + \sqrt{1+4a^2}}$

On peut aussi "doper" la force de Magnus

Cas particulier: $\vec{\Omega}_0$ horizontal: $\vec{v}_0 = v_0 \vec{j}$

La trajectoire est plane: $x = \frac{g + \lambda v_0 \cos \alpha}{\lambda} \sin \lambda t + \frac{v_0 \sin \alpha}{\lambda} (1 - \cos \lambda t) - \frac{g}{2\lambda} t^2$

$y = 0$

$z = \frac{g + \lambda v_0 \cos \alpha}{\lambda^2} (\cos \lambda t - 1) + \frac{v_0 \sin \alpha}{\lambda} \sin \lambda t$

OP d'une cycloïde allongée ($v_0 > 0$)
 ou raccourcie ($v_0 < 0$)

Cas général:

Cas particulier: $\vec{\Omega}_0 = \omega_0 \vec{k}$
 $\vec{v}_a = v + z \vec{k}$ ce qui se découple en

$$\begin{cases} m \frac{d\vec{U}}{dt} = -6\pi R \mu \vec{U} + \pi R^2 B \omega_0 e^{-\lambda t} \omega_0 \vec{k} \wedge \vec{u} \\ m \ddot{z} = -mg - 6\pi R \mu \dot{z} \end{cases}$$

$$z(t) = -\frac{mg}{6\pi R \mu} t - \frac{m}{6\pi R \mu} \left(v_0 \sin \alpha + \frac{mg}{6\pi R \mu} \right) e^{-\frac{6\pi R \mu}{m} t} + \frac{m}{6\pi R \mu} \left(v_0 \sin \alpha + \frac{mg}{6\pi R \mu} \right)$$

$$|\vec{U}| = v_0 \cos \alpha e^{-\frac{6\pi R \mu}{m} t}$$

$$\phi = (\vec{r}, \vec{U}): \dot{\phi} = \frac{\pi R^2 B \omega_0}{m} e^{-\lambda t}$$

$$\phi(t_p) = \frac{\pi R^2 B \omega_0}{12\pi R \mu} \left(1 - e^{-\frac{12\pi R \mu}{m} t_p} \right)$$

$$\begin{aligned} x &= v_0 \cos \alpha e^{-\frac{6\pi R \mu}{m} t} \cos \left(\frac{\pi R^2 B \omega_0}{12\pi R \mu} \left(1 - e^{-\frac{12\pi R \mu}{m} t} \right) \right) \\ y &= v_0 \cos \alpha e^{-\frac{6\pi R \mu}{m} t} \sin \left(\frac{\pi R^2 B \omega_0}{12\pi R \mu} \left(1 - e^{-\frac{12\pi R \mu}{m} t} \right) \right) \end{aligned}$$

et on intègre

et $\tan \beta = \frac{y(t_p)}{x(t_p)}$... la courbe projetée est un arc de cercle!

→ en volleyball on observe une inversion de l'effet Magnus.

→ si le ballon se pèle deux:

Q. dans le beauty force, l'effet Nagus n'apparaît pas.

Est-elle appliquée au centre de masse?

L'effet de Nagus devrait avoir un moment, à moins qu'elle pointent toute vers le centre de masse!